

This map was compiled from data acquired in the Minto Area, Yukon during an airborne geophysical survey (gamma ray spectrometer, magnetometer) carried out by Fugro under contract to the Geological Survey of Canada. Funding for the survey was provided by the Government of Yukon. The survey was completed between September 17, 2001 and September 28, 2001, using an Aerospatiale AS350B2 helicopter (registration C-027A).

Flight path was recovered using a post-flight differential Global Positioning System. A vertically mounted video camera was used for verification of the flight path. The average traverse line spacing was 500 m with control lines flown at 3.5 km intervals. Helicopter flight height was maintained at an average ground clearance of 119 m.

The gamma ray spectrometry data were recorded at a 1.0 second sample rate into 256 channel main and radon spectra using an Exploranium GR20 spectrometry system. The volume of NaI in the two detectors comprising the system were: main detector, 35.4; radon detector, 8.4. Counts from the main detector were recorded in the windows corresponding to Thorium (2410 - 2810 keV), uranium (1660 - 1860 keV), potassium (1370 - 1570 keV), total radioactivity (400 - 2815 keV) and cosmic radiation (2000 to >6000 keV). Counts from the radon detector were recorded in the radon window (1660 - 1860 keV). The radon detection system was calibrated following methods outlined in ASGO 1994/95. After removal of the background, the data were corrected for spectral interferences, changes in temperature, pressure and departures from the 119 m planned survey elevation. The data were then converted to standard concentration units and ratios and then interpolated to a 125 m square grid. The binary image grid was created from the three concentration grids.

The aeromagnetic data were recorded at a 0.1 second sample rate using a 0.01 nT sensitivity split-beam cesium vapour magnetometer suspended 23 m below the helicopter. The control line and traverse line magnetic data were corrected for variations in the magnetic field using the ground station magnetometer data. After editing the survey data, the intersections of traverse and control lines were established and the differences in the magnetic values were computer analysed to obtain the leveling network. Global Positioning System data were used to compute the International Geomagnetic Reference Field data circa 2001.2, which was subtracted from the total magnetic field data to produce the residual magnetic field. The resulting residual magnetic field values were interpolated to a 125 m square grid. The first vertical derivative of the magnetic field was computed from the grid of the residual magnetic field.

All gridded data are presented as colour interval maps combined with digital topographic files provided by Geomatics Canada.

Cette carte a été compilée des données obtenues dans le région de Minto, Yukon, pendant un levé géophysique aéroporté (spectrométrie des rayons gamma et aéromagnétique) effectué par Fugro sous un contrat à la commission géologique du Canada. La subvention pour ce levé a été fournie par le gouvernement du Yukon. Le levé ont été exécuté du 17 septembre au 28 septembre, 2001, en utilisant un hélicoptère Aerospatiale AS350B2 (immatriculé C-027A).

Le recouvrement des lignes de vol a été fait à l'aide de mesures de système de positionnement global corrigées en mode différentiel après vol. Une caméra vidéo montée verticalement a été utilisée pour la vérification du plan de vol. L'espacement moyen des lignes de vol était de 500 m, recoupées par des lignes de contrôle espacées d'environ 3,5 km les unes des autres. L'hélicoptère a maintenu une altitude moyenne de 119 m au-dessus du sol.

Les données spectrométriques des rayons gamma ont été enregistrées selon un taux d'échantillonnage de 1,0 seconde dans les spectres d'un détecteur principal à 256 canaux et d'un détecteur de radon en utilisant un spectromètre Exploranium GR20. Les volumes de NaI dans les deux détecteurs composant le système étaient les suivants: 35,4 pour le détecteur principal, 8,4 pour le détecteur de radon. Les comptages du détecteur principal ont été enregistrés dans cinq fenêtres correspondant au thorium (2410 - 2810 keV), à l'uranium (1660 - 1860 keV), au potassium (1370 - 1570 keV), à la radioactivité totale (400 - 2815 keV) et au rayonnement cosmique (2000 - >6000 keV). Le comptage de détecteur de radon a été enregistré dans la fenêtre du radon (1660 - 1860 keV). Le système de détection du radon a été étalonné selon les méthodes décrites dans le ASGO 1994/95. Après élimination du fond, les données ont été corrigées pour tenir compte des interférences spectrales, des changements de température, de la pression et des écarts par rapport à l'altitude prévue du levé (119 m). Les données ont été ensuite converties en unités de concentration habituelles et leurs rapports, puis interpolées sur un grille aux mailles de 125 m. La carte binaire a été calculée des grilles des trois éléments radioactifs.

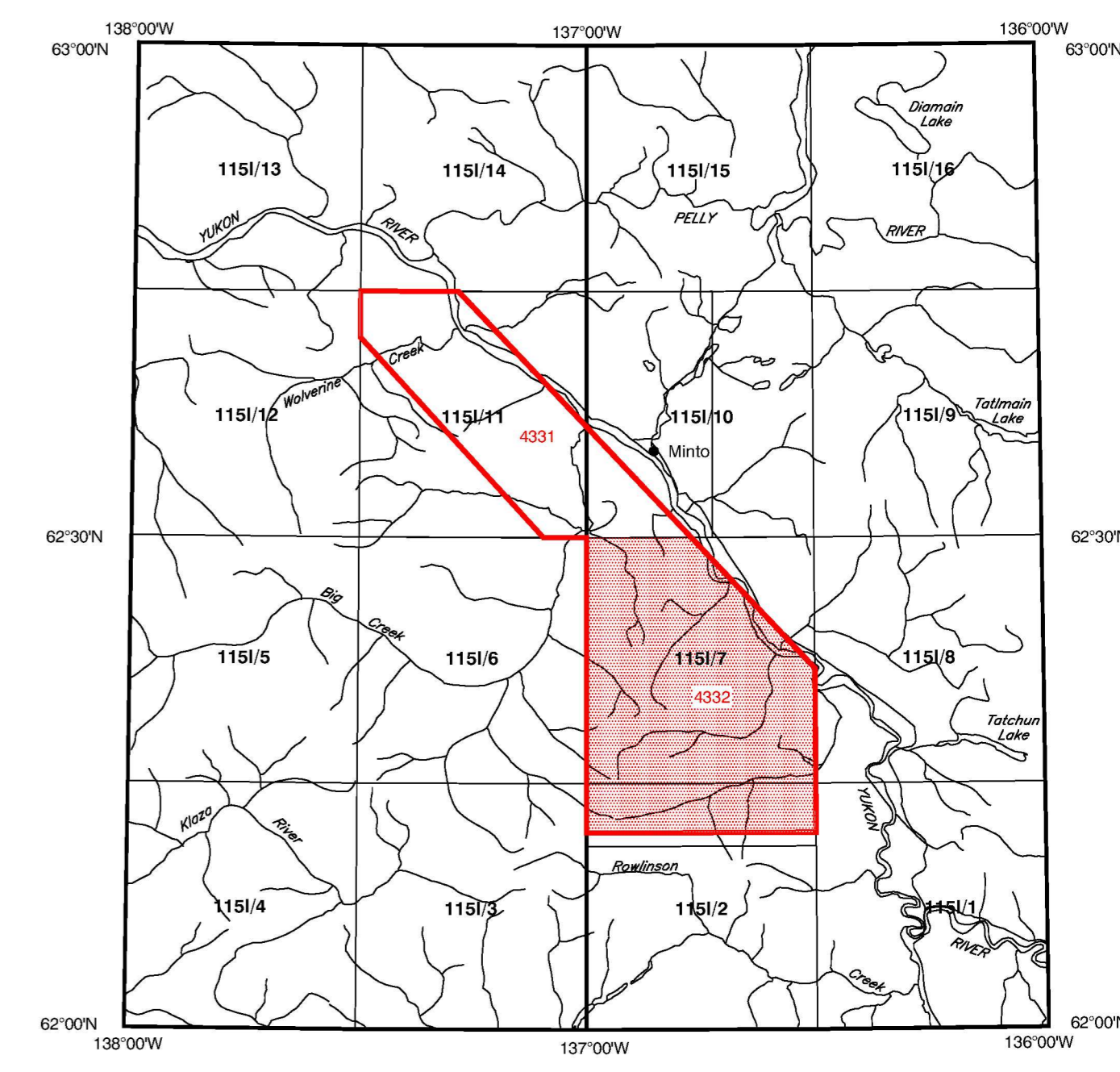
Les données aéromagnétiques ont été enregistrées à une fréquence de 0,1 seconde en utilisant un magnétomètre à vapeur de césium d'une sensibilité de 0,01 nT suspendu à 23 m sous l'hélicoptère. Les données magnétiques des lignes de contrôle et des traverses ont été corrigées pour les variations du champ géomagnétique en utilisant les données du magnétomètre au sol. Une fois les données du levé ont été vérifiées, les coordonnées des intersections des lignes de vol et des lignes de contrôle ont été établies et leurs différences des valeurs magnétiques ont été analysées par ordinateur pour obtenir le réseau nivellement. Les données de système de positionnement global ont été utilisées pour obtenir le champ géomagnétique international de référence calculé vers 2000,7 qui a été soustrait du champ total pour obtenir le champ magnétique résiduel. Afin, les données du champ magnétique résiduel ont été interpolées à une grille aux mailles carrées de 125 m de côté. Finalement, la grille de la première dérivée verticale du champ magnétique a été calculée à partir du champ magnétique résiduel.

Tous les données ont présentées comme des cartes d'intervalles en couleurs combinées avec les fichiers de topographie numériques fournis par Géomatique Canada.

Flight lines, Lignes de vol, Lignes de vol

Recommended citation:
Shives, R.B.K., Canon, J.M., Ford, K.L., Holman, P.B., Hill, R., Abbott, G., 2002
Geological Survey of Canada Open File 4332
Exploration and Geological Services Division, Yukon, Indian and Northern Affairs Canada Open File 2002-19
Uranium / Thorium Map (eU/eTh)
Minto Area - 115 I/7
Scale 1:50,000

Notation bibliographique conseillée:
Shives, R.B.K., Canon, J.M., Ford, K.L., Holman, P.B., Hill, R., Abbott, G., 2002
Commission géologique du Canada Dossier Public 4332
Affaires indiennes et du Nord, Région du Yukon, Exploration et services de géologie Dossier Public 2002-19
Carte de l'uranium / thorium (éU/éTh)
Minto Area - 115 I/7
Échelle 1:50 000



NATIONAL TOPOGRAPHICAL SYSTEM REFERENCE AND GEOGRAPHICAL MAP INDEX
SYSTÈME NATIONAL DE RÉFÉRENCE CARTOGRAPHIQUE ET INDEX DES CARTES GÉOPHYSIQUES

URANIUM / THORIUM MAP (eU/eTh)
CARTE DE L'URANIUM / THORIUM (éU/éTh)
MINTO AREA
YUKON TERRITORY / TERRITOIRE DU YUKON
115 I/7

